

DOI:10.61818/02910536

ISSN: 2965-0291



Boletim de monitoramento climático de grandes bacias hidrográficas: Bacia Amazônica

Volume 5, Número 36

Manaus, 3 de setembro de 2025



MINISTÉRIO DA
CIÊNCIA, TECNOLOGIA
E INOVAÇÃO



Boletim de monitoramento climático de grandes bacias hidrográficas: Bacia Amazônica

Editor Chefe Renato Cruz Senna

Meteorologista

Pesquisador - CODAM, INPA

Editoração Renato Cruz Senna

Luan Rogério Rodrigues Carvalho

Adriano Nobre Arcos

Tainá Sampaio Xavier Conchy Rocha

Periodicidade Semanal

Revisão e Diagramação Inácio de Oliveira Lima Neto

Contato Instituto Nacional de Pesquisas da Amazônia - INPA

Av. André Araújo, 2.936 - Petrópolis

CEP 69067-375 - Manaus -AM, Brasil

E-mail: renato.senna@inpa.gov.br

clima.amazonia@inpa.gov.br

Telefone: (92) 3643 3154 / 3643-3170



www.instagram.com/clima.amazonia

Esta pesquisa foi apoiada como parte do Programa de Grande Escala da Biosfera-Atmosfera na Amazônia (LBA), coordenado pelo Instituto Nacional de Pesquisas da Amazônia (INPA), financiado pelo Ministério da Ciência, Tecnologia e Inovação (MCTI) entidade da administração direta do Governo Federal Brasileiro.



Esta obra está licenciada com uma Licença Creative Commons Atribuição - Não Comercial - Sem Derivações 4.0 Internacional.



MINISTÉRIO DA
CIÊNCIA, TECNOLOGIA
E INOVAÇÃO

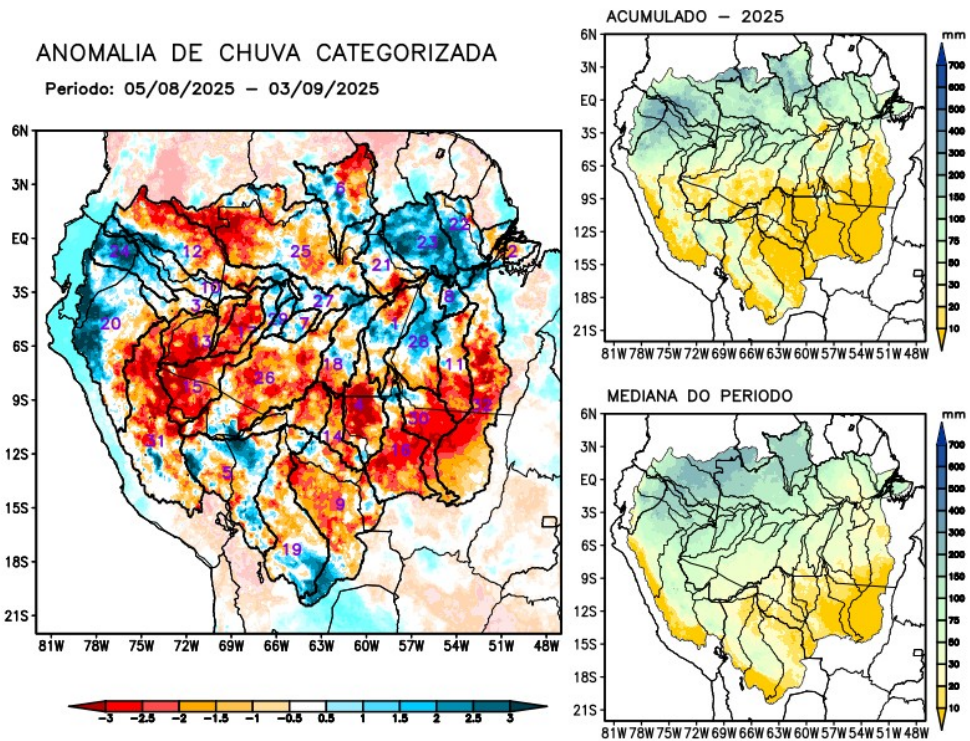


Índice

Condições atuais	1
Bacia do Rio Branco	2
Bacia do Rio Negro	2
Bacia do Rio Marañon	2
Bacia do Rio Ucayali	3
Bacia do Rio Napo	3
Curso principal do Rio Amazonas (Peru)	3
Bacia do Rio Javari	4
Bacia do Rio Içá	4
Bacia do Rio Jutai	4
Bacia do Rio Juruá	5
Bacia do Rio Japurá	5
Bacia do Rio Tefé	5
Bacia do Rio Coari	6
Bacia do Rio Purus	6
Curso principal do Rio Solimões	6
Bacia do Rio Beni	7
Bacia do Rio Mamoré	7
Bacia do Rio Guaporé	7
Bacia do Rio Ji-Paraná	8
Bacia do Rio Aripuanã	8
Bacia do Rio Madeira	8
Bacias da margem esquerda do Rio Amazonas (Amazonas)	9
Bacia do Rio Abacaxis	9
Bacia do Rio Juruena	9
Bacia do Rio Teles Pires	10
Bacia do Rio Tapajós	10
Bacias da margem esquerda do Rio Amazonas (noroeste do Pará)	10
Bacia do Rio Curuá Una	11
Bacias da margem esquerda do Rio Amazonas (nordeste do Pará)	11
Bacia do Rio Iriri	11
Bacia do Rio Xingu	12
Curso principal do Rio Amazonas (Brasil)	12
Previsão multimodelo subsazonal	13
Valores de referência	15
Categorização das anomalias de precipitação	16
Comportamento semanal das anomalias (gráficos auxiliares)	17
Diagrama unifilar das bacias representadas	20

Condições atuais

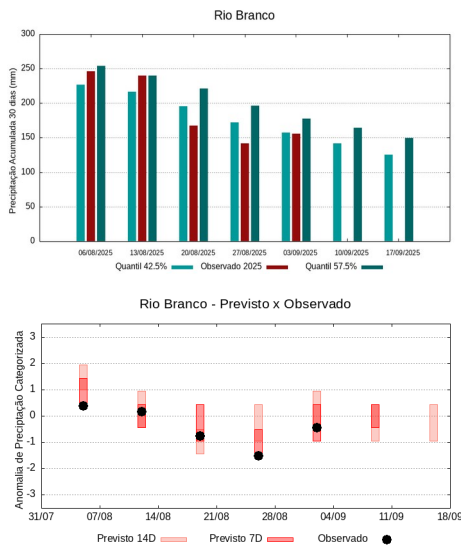
Mapas das condições observadas de precipitação e gráficos individuais por bacias são produzidos a partir dos dados MERGE/GPM gerados pelo INPE/CPTEC, considerando como climatologia o período de 2000 a 2024. **Entre os dias 5 de agosto e 3 de setembro de 2025, chuvas abaixo da climatologia concentradas no sudeste da área monitorada caracterizaram com déficit de precipitação sobre as bacias hidrográficas dos rios Aripuanã, Guaporé, Iriri, Japurá, Javari, Ji-Paraná, Juruá, Juruena, Jutaí, Madeira, Negro, Purus, Teles Pires, Ucayali e Xingu; previsão de chuvas acima da climatologia sobre as bacias hidrográficas dos rios Curuá Una, Içá, bacias da margem esquerda do Rio Amazonas no nordeste e no noroeste do Estado do Pará, Napo e Tefé; chuvas próximas da normalidade sobre o curso principal do Rio Amazonas em territórios brasileiro e peruano, as bacias hidrográficas dos rios Abacaxis, Beni, Branco, Coari, Mamoré, bacias da margem esquerda do Rio Amazonas no nordeste do Estado do Amazonas, Tapajós e o curso principal do Rio Solimões. O multimodelo indica para as próximas semanas previsão de chuvas abaixo da climatologia sobre as bacias hidrográficas dos rios Abacaxis, Aripuanã, Curuá Una, Iriri, Ji-Paraná, Juruena, Marañon, Tapajós, Teles Pires e Ucayali; chuvas acima da climatologia sobre a bacia hidrográfica do Rio Tefé; chuvas próximas a climatologia sobre as demais bacias hidrográficas da região monitorada.**



1	Abacaxis	9	Guaporé	17	Jutaí	25	Negro
2	Amazonas (BR)	10	Içá	18	Madeira	26	Purus
3	Amazonas (PE)	11	Iriri	19	Mamoré	27	Solimões
4	Aripuanã	12	Japurá	20	Marañon	28	Tapajós
5	Beni	13	Javari	21	Marg Esq (AM)	29	Tefé
6	Branco	14	Ji-Paraná	22	Marg Esq (PA) NE	30	Teles Pires
7	Coari	15	Juruá	23	Marg Esq (PA) NW	31	Ucayali
8	Curuá Una	16	Juruena	24	Napo	32	Xingu

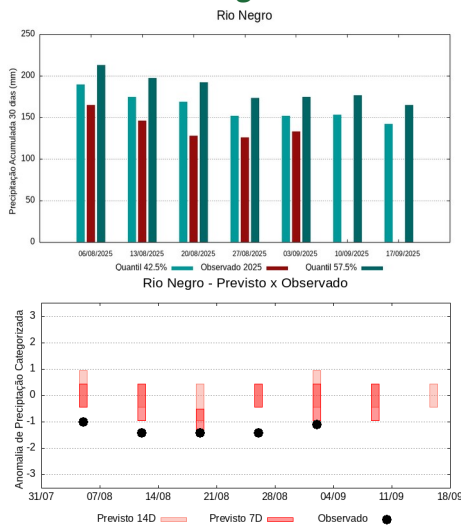
Análise individual por bacia hidrográfica

Bacia do Rio Branco



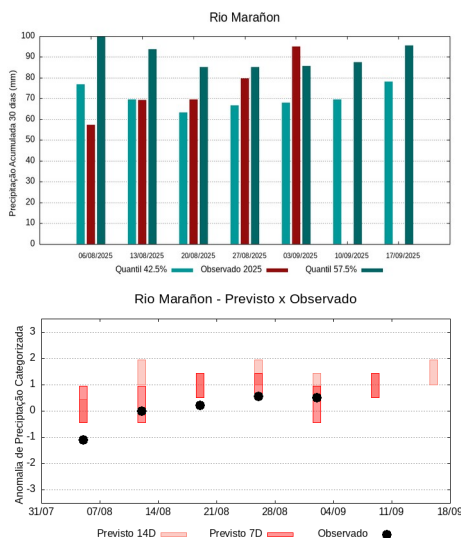
A climatologia do período em análise indica chuvas com registros variando entre **157 e 178 mm** sendo considerados normais (referência quantis 42.5% e 57.5%). Em **3 de setembro de 2025**, foram observados **156 mm** de precipitação média acumulada sobre a bacia em 30 dias, o cálculo da média do índice de anomalia categorizada na área da bacia o valor de **-0.4**, classifica a bacia em condição de **normalidade**. Nas próximas semanas o comportamento climático indica **redução** dos volumes de chuva, o modelo de prognóstico subsazonal sugere um comportamento **próximo da normalidade**.

Bacia do Rio Negro



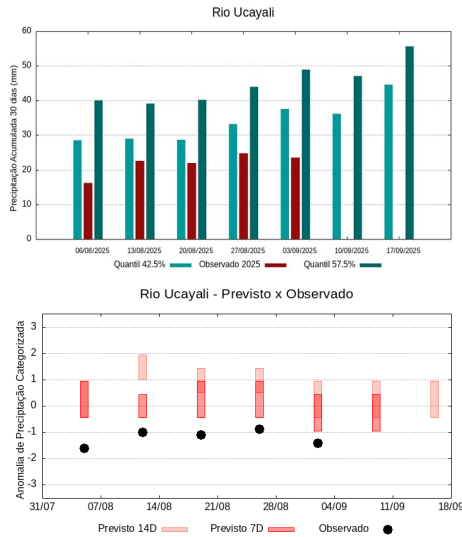
A climatologia do período em análise indica chuvas com registros variando entre **152 e 175 mm** sendo considerados normais (referência quantis 42.5% e 57.5%). Em **3 de setembro de 2025**, foram observados **133 mm** de precipitação média acumulada sobre a bacia em 30 dias, no cálculo da média do índice de anomalia categorizada na área da bacia o valor de **-0.9**, classifica a bacia em condição de **tendência a seco**. Nas próximas semanas o comportamento climático indica **manutenção** dos volumes de chuva, o modelo de prognóstico subsazonal sugere um comportamento **próximo da normalidade ou tendência a seco**.

Bacia do Rio Marañon



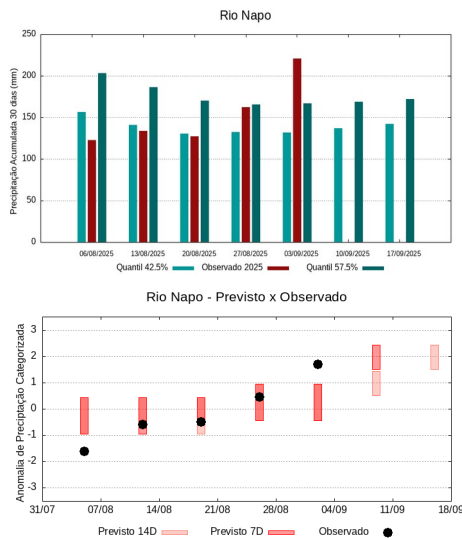
A climatologia do período em análise indica chuvas com registros variando entre **68 e 86 mm** sendo considerados normais (referência quantis 42.5% e 57.5%). Em **3 de setembro de 2025**, foram observados **95 mm** de precipitação média acumulada sobre a bacia em 30 dias, no cálculo da média do índice de anomalia categorizada na área da bacia o valor de **0.6**, classifica a bacia em condição de **tendência a chuvoso**. Nas próximas semanas o comportamento climático indica **elevação** dos volumes de chuva, o modelo de prognóstico subsazonal sugere um comportamento **chuvoso ou tendência a chuvoso**.

Bacia do Rio Ucayali



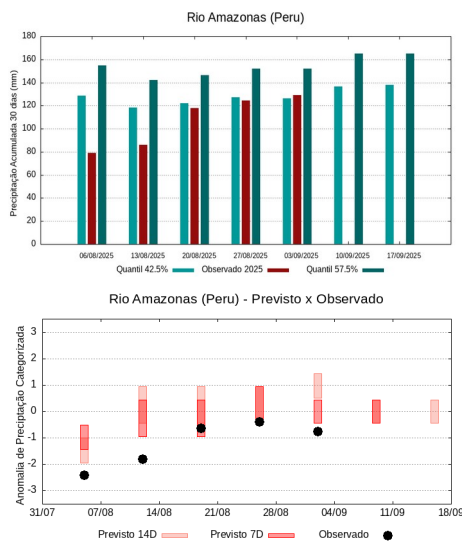
A climatologia do período em análise indica chuvas com registros variando entre **38 e 49 mm** sendo considerados normais (referência quantis 42.5% e 57.5%). Em **3 de setembro de 2025**, foram observados **24 mm** de precipitação média acumulada sobre a bacia em 30 dias, no cálculo da média do índice de anomalia categorizada na área da bacia o valor de **-1.3**, classifica a bacia em condição de **seco**. Nas próximas semanas o comportamento climático indica **elevação** dos volumes de chuva, o modelo de prognóstico subsazonal sugere um comportamento **próximo da normalidade ou tendência a seco**.

Bacia do Rio Napo



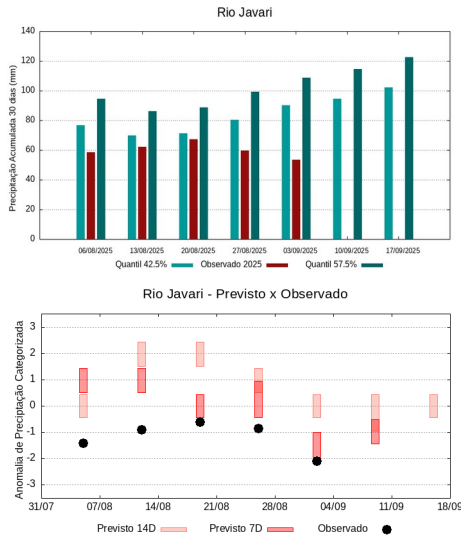
A climatologia do período em análise indica chuvas com registros variando entre **132 e 167 mm** sendo considerados normais (referência quantis 42.5% e 57.5%). Em **3 de setembro de 2025**, foram observados **221 mm** de precipitação média acumulada sobre a bacia em 30 dias, no cálculo da média do índice de anomalia categorizada na área da bacia o valor de **1.6**, classifica a bacia em condição de **tendência a muito chuvoso**. Nas próximas semanas o comportamento climático indica **manutenção** dos volumes de chuva, o modelo de prognóstico subsazonal sugere um comportamento **muito chuvoso ou tendência a muito chuvoso**.

Curso principal do Rio Amazonas (Peru)



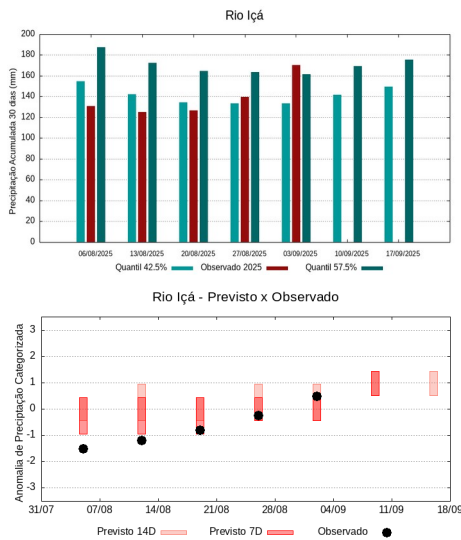
A climatologia do período em análise indica chuvas com registros variando entre **126 e 152 mm** sendo considerados normais (referência quantis 42.5% e 57.5%). Em **3 de setembro de 2025**, foram observados **129 mm** de precipitação média acumulada sobre a bacia em 30 dias, no cálculo da média do índice de anomalia categorizada na área da bacia o valor de **-0.4**, classifica a bacia em condição de **normalidade**. Nas próximas semanas o comportamento climático indica **elevação** dos volumes de chuva, o modelo de prognóstico subsazonal sugere um comportamento **próximo da normalidade**.

Bacia do Rio Javari



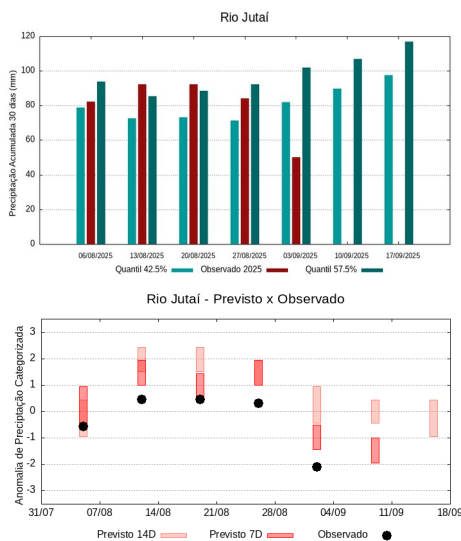
A climatologia do período em análise indica chuvas com registros variando entre **90 e 109 mm** sendo considerados normais (referência quantis 42.5% e 57.5%). Em **3 de setembro de 2025**, foram observados **53 mm** de precipitação média acumulada sobre a bacia em 30 dias, no cálculo da média do índice de anomalia categorizada na área da bacia o valor de **-2.1**, classifica a bacia em condição de **muito seco**. Nas próximas semanas o comportamento climático indica **elevação** dos volumes de chuva, o modelo de prognóstico subsazonal sugere um comportamento **seco ou tendência a seco**.

Bacia do Rio Içá (Putumayo)



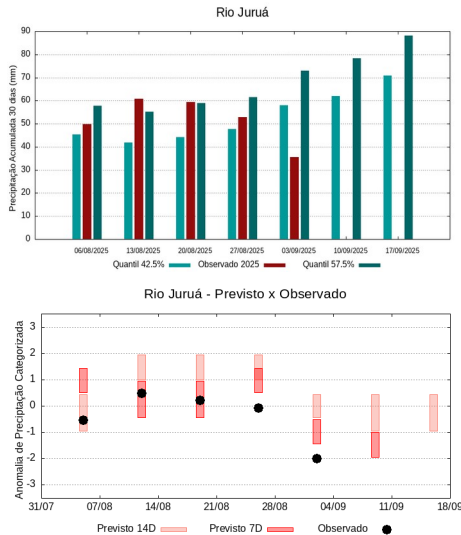
A climatologia do período em análise indica chuvas com registros variando entre **133 e 162 mm** sendo considerados normais (referência quantis 42.5% e 57.5%). Em **3 de setembro de 2025**, foram observados **171 mm** de precipitação média acumulada sobre a bacia em 30 dias, no cálculo da média do índice de anomalia categorizada na área da bacia o valor de **0.5**, classifica a bacia em condição de **tendência a chuvoso**. Nas próximas semanas o comportamento climático indica **elevação** dos volumes de chuva, o modelo de prognóstico subsazonal sugere um comportamento **chuvoso ou tendência a chuvoso**.

Bacia do Rio Jutai



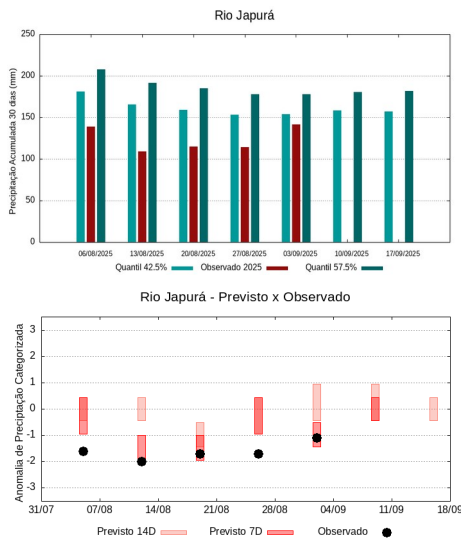
A climatologia do período em análise indica chuvas com registros variando entre **82 e 102 mm** sendo considerados normais (referência quantis 42.5% e 57.5%). Em **3 de setembro de 2025**, foram observados **50 mm** de precipitação média acumulada sobre a bacia em 30 dias, no cálculo da média do índice de anomalia categorizada na área da bacia o valor de **-2.0**, classifica a bacia em condição de **muito seco**. Nas próximas semanas o comportamento climático indica **elevação** dos volumes de chuva, o modelo de prognóstico subsazonal sugere um comportamento **seco ou tendência a muito seco**.

Bacia do Rio Juruá



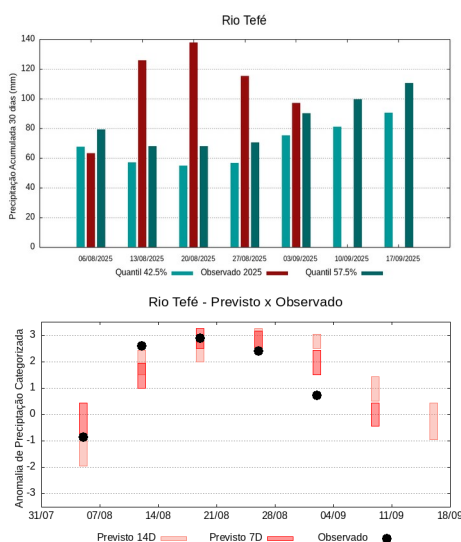
A climatologia do período em análise indica chuvas com registros variando entre **58 e 73 mm** sendo considerados normais (referência quantis 42.5% e 57.5%). Em **3 de setembro de 2025**, foram observados **36 mm** de precipitação média acumulada sobre a bacia em 30 dias, no cálculo da média do índice de anomalia categorizada na área da bacia o valor de **-1.8**, classifica a bacia em condição de **tendência a muito seco**. Nas próximas semanas o comportamento climático indica **elevação** dos volumes de chuva, o modelo de prognóstico subsazonal sugere um comportamento **seco ou tendência a muito seco**.

Bacia do Rio Japurá (Caquetá)



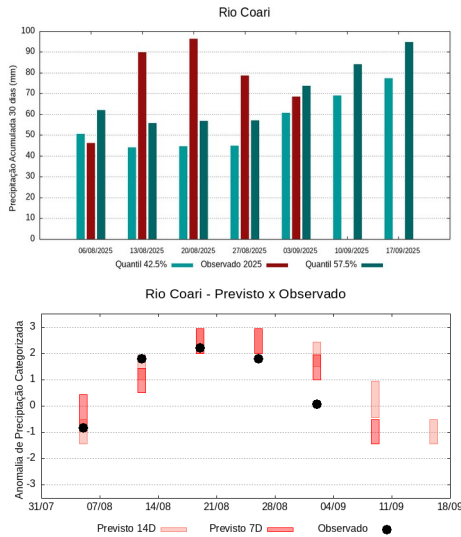
A climatologia do período em análise indica chuvas com registros variando entre **154 e 178 mm** sendo considerados normais (referência quantis 42.5% e 57.5%). Em **3 de setembro de 2025**, foram observados **142 mm** de precipitação média acumulada sobre a bacia em 30 dias, no cálculo da média do índice de anomalia categorizada na área da bacia o valor de **-0.9**, classifica a bacia em condição de **tendência a seco**. Nas próximas semanas o comportamento climático indica **manutenção** dos volumes de chuva, o modelo de prognóstico subsazonal sugere um comportamento **próximo da normalidade**.

Bacia do Rio Tefé



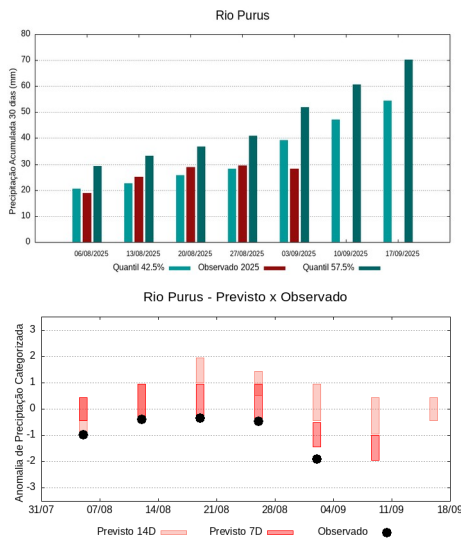
A climatologia do período em análise indica chuvas com registros variando entre **75 e 90 mm** sendo considerados normais (referência quantis 42.5% e 57.5%). Em **3 de setembro de 2025**, foram observados **97 mm** de precipitação média acumulada sobre a bacia em 30 dias, no cálculo da média do índice de anomalia categorizada na área da bacia o valor de **0.7**, classifica a bacia em condição de **tendência a chuvoso**. Nas próximas semanas o comportamento climático indica **elevação** dos volumes de chuva, o modelo de prognóstico subsazonal sugere um comportamento **próximo da normalidade**.

Bacia do Rio Coari



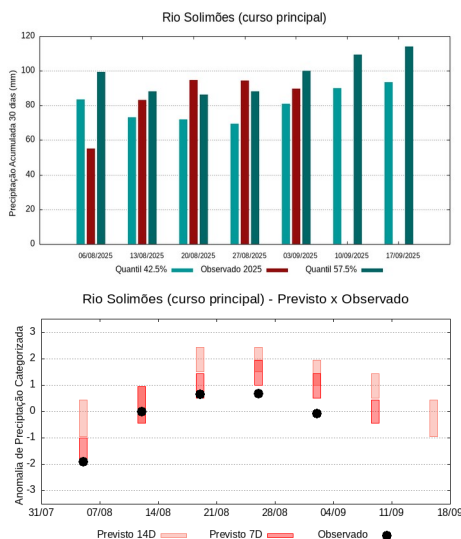
A climatologia do período em análise indica chuvas com registros variando entre **61 e 74 mm** sendo considerados normais (referência quantis 42.5% e 57.5%). Em **3 de setembro de 2025**, foram observados **69 mm** de precipitação média acumulada sobre a bacia em 30 dias, no cálculo da média do índice de anomalia categorizada na área da bacia o valor de **0.1**, classifica a bacia em condição de **normalidade**. Nas próximas semanas o comportamento climático indica **elevação** dos volumes de chuva, o modelo de prognóstico subsazonal sugere um comportamento **seco ou tendência a seco**.

Bacia do Rio Purus



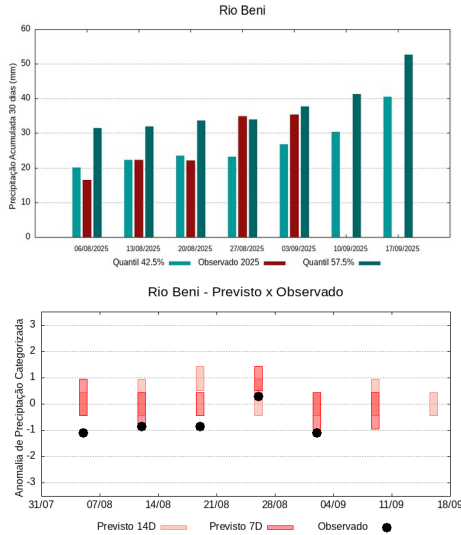
A climatologia do período em análise indica chuvas com registros variando entre **39 e 52 mm** sendo considerados normais (referência quantis 42.5% e 57.5%). Em **3 de setembro de 2025**, foram observados **28 mm** de precipitação média acumulada sobre a bacia em 30 dias, no cálculo da média do índice de anomalia categorizada na área da bacia o valor de **-1.3**, classifica a bacia em condição de **seco**. Nas próximas semanas o comportamento climático indica **elevação** dos volumes de chuva, o modelo de prognóstico subsazonal sugere um comportamento **seco ou tendência a muito seco**.

Curso principal do Rio Solimões



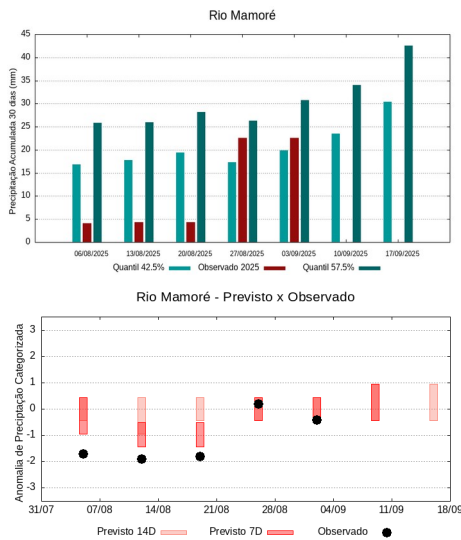
A climatologia do período em análise indica chuvas com registros variando entre **81 e 100 mm** sendo considerados normais (referência quantis 42.5% e 57.5%). Em **3 de setembro de 2025**, foram observados **90 mm** de precipitação média acumulada sobre a bacia em 30 dias, no cálculo da média do índice de anomalia categorizada na área da bacia o valor de **-0.1**, classifica a bacia em condição de **normalidade**. Nas próximas semanas o comportamento climático indica **elevação** dos volumes de chuva, o modelo de prognóstico subsazonal sugere um comportamento **próximo da normalidade**.

Bacia dos rios Beni e Madre de Dios



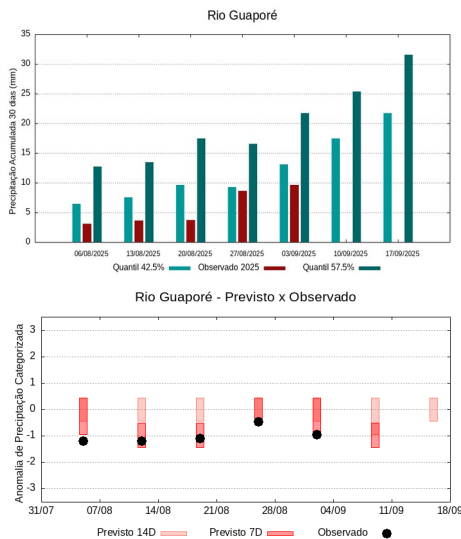
A climatologia do período em análise indica chuvas com registros variando entre **27 e 38 mm** sendo considerados normais (referência quantis 42.5% e 57.5%). Em **3 de setembro de 2025**, foram observados **35 mm** de precipitação média acumulada sobre a bacia em 30 dias, no cálculo da média do índice de anomalia categorizada na área da bacia o valor de **0.1**, classifica a bacia em condição de **normalidade**. Nas próximas semanas o comportamento climático indica **elevação** dos volumes de chuva, o modelo de prognóstico subsazonal sugere um comportamento **próximo da normalidade ou tendência a seco**.

Bacia do Rio Mamoré



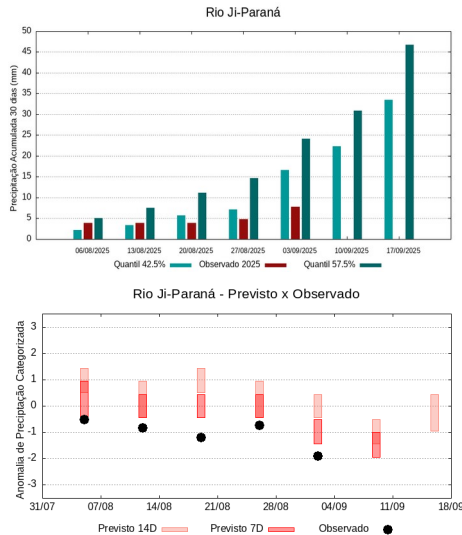
A climatologia do período em análise indica chuvas com registros variando entre **20 e 31 mm** sendo considerados normais (referência quantis 42.5% e 57.5%). Em **3 de setembro de 2025**, foram observados **23 mm** de precipitação média acumulada sobre a bacia em 30 dias, no cálculo da média do índice de anomalia categorizada na área da bacia o valor de **-0.2**, classifica a bacia em condição de **normalidade**. Nas próximas semanas o comportamento climático indica **elevação** dos volumes de chuva, o modelo de prognóstico subsazonal sugere um comportamento **próximo da normalidade ou tendência a chuvoso**.

Bacia do Rio Guaporé (Iténez)



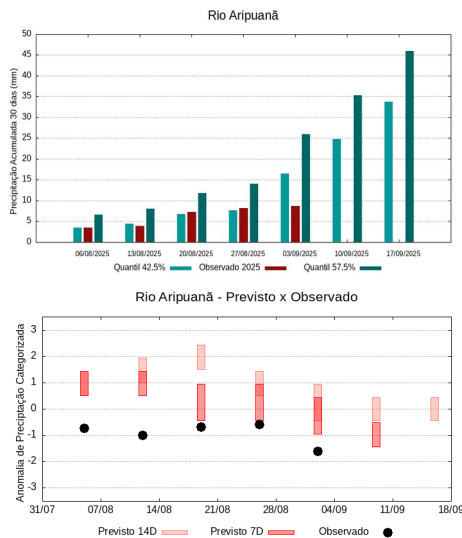
A climatologia do período em análise indica chuvas com registros variando entre **13 e 22 mm** sendo considerados normais (referência quantis 42.5% e 57.5%). Em **3 de setembro de 2025**, foram observados **10 mm** de precipitação média acumulada sobre a bacia em 30 dias, no cálculo da média do índice de anomalia categorizada na área da bacia o valor de **-0.9**, classifica a bacia em condição de **tendência a seco**. Nas próximas semanas o comportamento climático indica **elevação** dos volumes de chuva, o modelo de prognóstico subsazonal sugere um comportamento **seco ou tendência a seco**.

Bacia do Rio Ji-Paraná



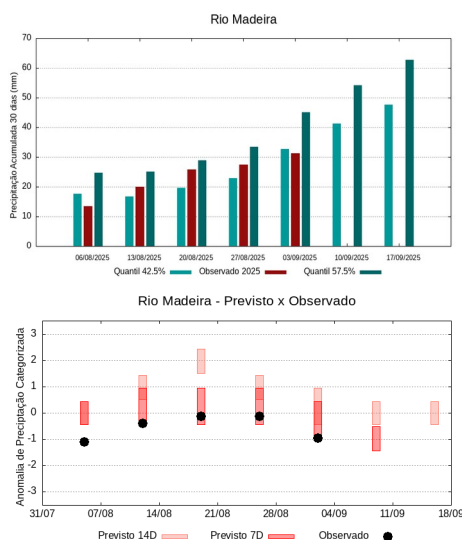
A climatologia do período em análise indica chuvas com registros variando entre **17 e 24 mm** sendo considerados normais (referência quantis 42.5% e 57.5%). Em **3 de setembro de 2025**, foram observados **8 mm** de precipitação média acumulada sobre a bacia em 30 dias, no cálculo da média do índice de anomalia categorizada na área da bacia, o valor de **-1.6**, classifica a bacia em condição de **tendência a muito seco**. Nas próximas semanas o comportamento climático indica **elevação** dos volumes de chuva, o modelo de prognóstico subsazonal sugere um comportamento **seco ou tendência a muito seco**.

Bacia do Rio Aripuanã



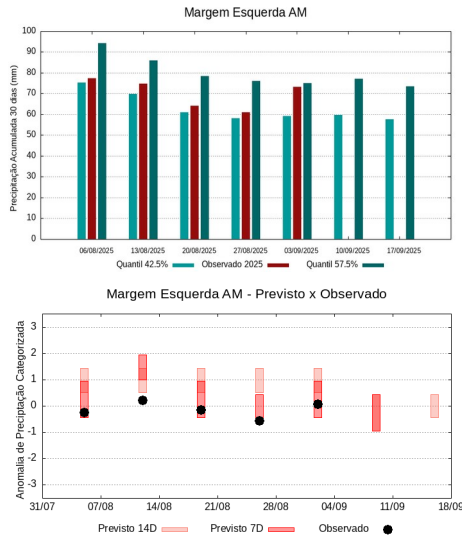
A climatologia do período em análise indica chuvas com registros variando entre **17 e 26 mm** sendo considerados normais (referência quantis 42.5% e 57.5%). Em **3 de setembro de 2025**, foram observados **9 mm** de precipitação média acumulada sobre a bacia em 30 dias, no cálculo da média do índice de anomalia categorizada na área da bacia o valor de **-1.7**, classifica a bacia em condição de **tendência a muito seco**. Nas próximas semanas o comportamento climático indica **elevação** dos volumes de chuva, o modelo de prognóstico subsazonal sugere um comportamento **seco ou tendência a seco**.

Bacia do Rio Madeira



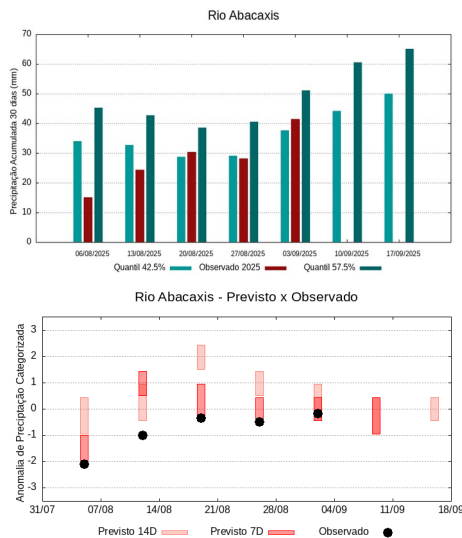
A climatologia do período em análise indica chuvas com registros variando entre **33 e 45 mm** sendo considerados normais (referência quantis 42.5% e 57.5%). Em **3 de setembro de 2025**, foram observados **31 mm** de precipitação média acumulada sobre a bacia em 30 dias, no cálculo da média do índice de anomalia categorizada na área da bacia o valor de **-0.8**, classifica a bacia em condição de **tendência a seco**. Nas próximas semanas o comportamento climático indica **elevação** dos volumes de chuva, o modelo de prognóstico subsazonal sugere um comportamento **seco ou tendência a seco**.

Bacias da margem esquerda do Rio Amazonas (Amazonas)



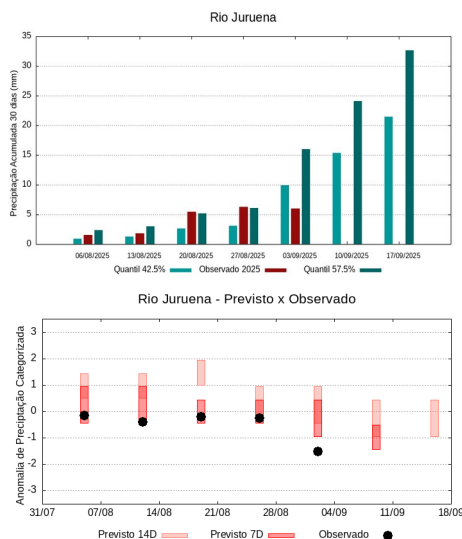
A climatologia do período em análise indica chuvas com registros variando entre **59 e 75 mm** sendo considerados normais (referência quantis 42.5% e 57.5%). Em **3 de setembro de 2025**, foram observados **73 mm** de precipitação média acumulada sobre a bacia em 30 dias, no cálculo da média do índice de anomalia categorizada na área da bacia o valor de **0.0**, classifica a bacia em condição de **normalidade**. Nas próximas semanas o comportamento climático indica **manutenção** dos volumes de chuva, o modelo de prognóstico subsazonal sugere um comportamento **próximo da normalidade ou tendência a seco**.

Bacia do Rio Abacaxis



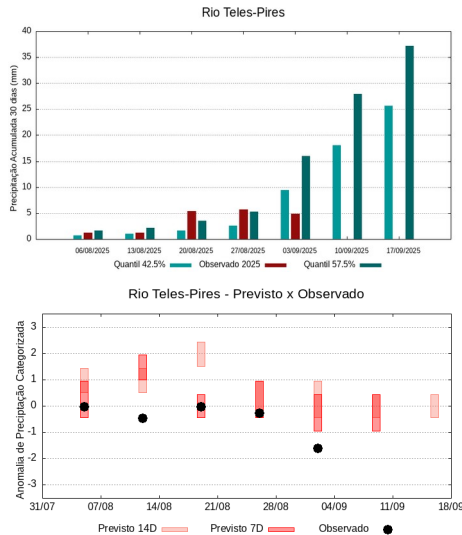
A climatologia do período em análise indica chuvas com registros variando entre **38 e 51 mm** sendo considerados normais (referência quantis 42.5% e 57.5%). Em **3 de setembro de 2025**, foram observados **41 mm** de precipitação média acumulada sobre a bacia em 30 dias, no cálculo da média do índice de anomalia categorizada na área da bacia o valor de **-0.2**, classifica a bacia em condição de **normalidade**. Nas próximas semanas o comportamento climático indica **elevação** dos volumes de chuva, o modelo de prognóstico subsazonal sugere um comportamento **próximo da normalidade ou tendência a seco**.

Bacia do Rio Juruena



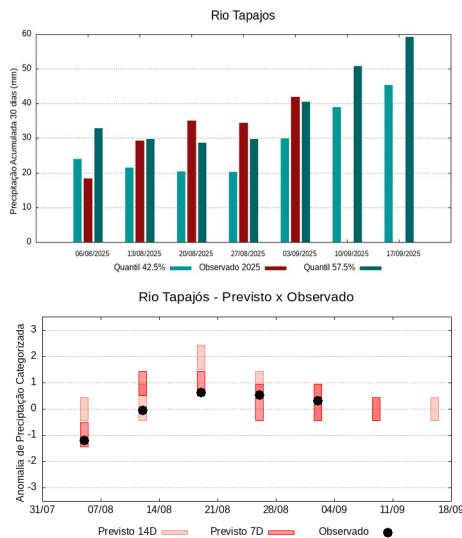
A climatologia do período em análise indica chuvas com registros variando entre **10 e 16 mm** sendo considerados normais (referência quantis 42.5% e 57.5%). Em **3 de setembro de 2025**, foram observados **6 mm** de precipitação média acumulada sobre a bacia em 30 dias, no cálculo da média do índice de anomalia categorizada na área da bacia o valor de **-1.7**, classifica a bacia em condição de **tendência a muito seco**. Nas próximas semanas o comportamento climático indica **elevação** dos volumes de chuva, o modelo de prognóstico subsazonal sugere um comportamento **seco ou tendência a seco**.

Bacia do Rio Teles Pires



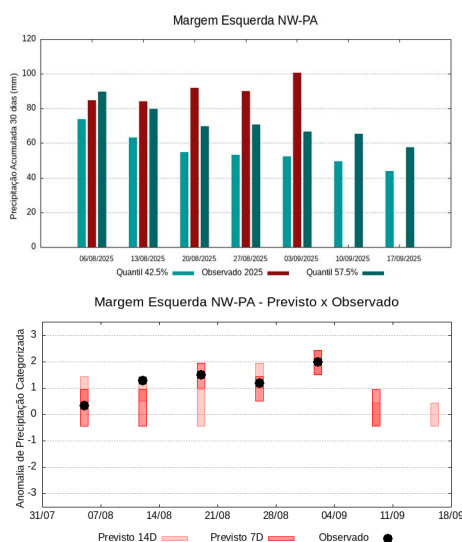
A climatologia do período em análise indica chuvas com registros variando entre **9 e 16 mm** sendo considerados normais (referência quantis 42.5% e 57.5%). Em **3 de setembro de 2025**, foram observados **5 mm** de precipitação média acumulada sobre a bacia em 30 dias, no cálculo da média do índice de anomalia categorizada na área da bacia o valor de **-1.8**, classifica a bacia em condição de **tendência a muito seco**. Nas próximas semanas o comportamento climático indica **elevação** dos volumes de chuva, o modelo de prognóstico subsazonal sugere um comportamento **próximo da normalidade ou tendência a seco**.

Bacia do Rio Tapajós



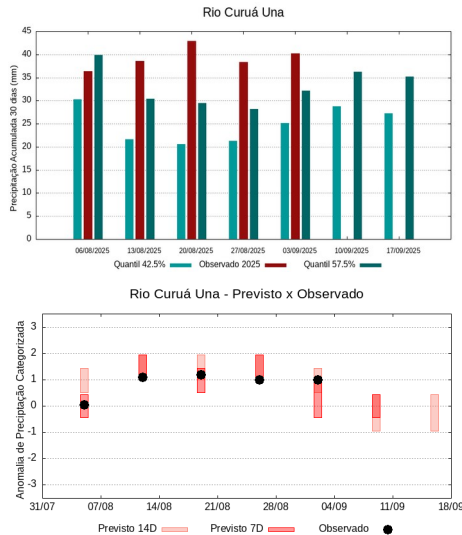
A climatologia do período em análise indica chuvas com registros variando entre **30 e 41 mm** sendo considerados normais (referência quantis 42.5% e 57.5%). Em **3 de setembro de 2025**, foram observados **42 mm** de precipitação média acumulada sobre a bacia em 30 dias, no cálculo da média do índice de anomalia categorizada na área da bacia o valor de **0.2**, classifica a bacia em condição de **normalidade**. Nas próximas semanas o comportamento climático indica **elevação** dos volumes de chuva, o modelo de prognóstico subsazonal sugere um comportamento **próximo da normalidade**.

Bacias da margem esquerda do Rio Amazonas (noroeste do Pará)



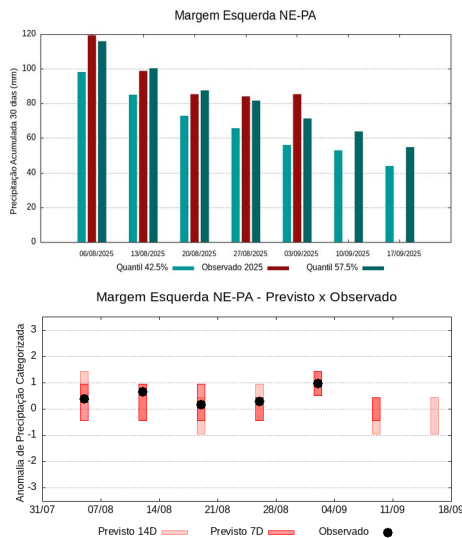
A climatologia do período em análise indica chuvas com registros variando entre **52 e 67 mm** sendo considerados normais (referência quantis 42.5% e 57.5%). Em **3 de setembro de 2025**, foram observados **101 mm** de precipitação média acumulada sobre a bacia em 30 dias, no cálculo da média do índice de anomalia categorizada na área da bacia o valor de **1.9**, classifica a bacia em condição de **tendência a muito chuvoso**. Nas próximas semanas o comportamento climático indica **redução** dos volumes de chuva, o modelo de prognóstico subsazonal sugere um comportamento **próximo da normalidade ou tendência a chuvoso**.

Bacia do Rio Curuá Una



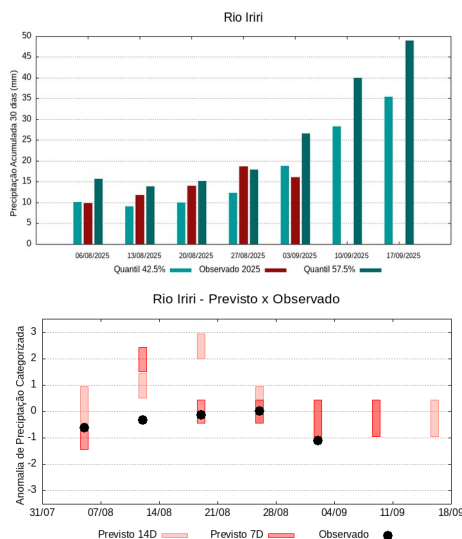
A climatologia do período em análise indica chuvas com registros variando entre **25 e 32 mm** sendo considerados normais (referência quantis 42.5% e 57.5%). Em **3 de setembro de 2025**, foram observados **40 mm** de precipitação média acumulada sobre a bacia em 30 dias, no cálculo da média do índice de anomalia categorizada na área da bacia o valor de **1.0**, classifica a bacia em condição de **chuvoso**. Nas próximas semanas o comportamento climático indica **elevação** dos volumes de chuva, o modelo de prognóstico subsazonal sugere um comportamento **próximo da normalidade**.

Bacias da margem esquerda do Rio Amazonas (nordeste do PA)



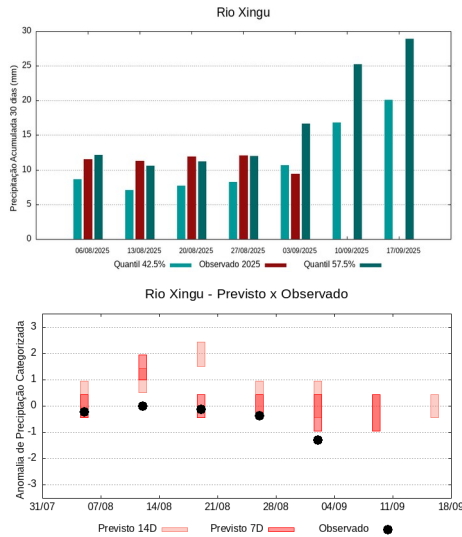
A climatologia do período em análise indica chuvas com registros variando entre **56 e 71 mm** sendo considerados normais (referência quantis 42.5% e 57.5%). Em **3 de setembro de 2025**, foram observados **85 mm** de precipitação média acumulada sobre a bacia em 30 dias, no cálculo da média do índice de anomalia categorizada na área da bacia o valor de **1.0**, classifica a bacia em condição de **chuvoso**. Nas próximas semanas o comportamento climático indica **redução** dos volumes de chuva, o modelo de prognóstico subsazonal sugere um comportamento **próximo da normalidade**.

Bacia do Rio Iriti



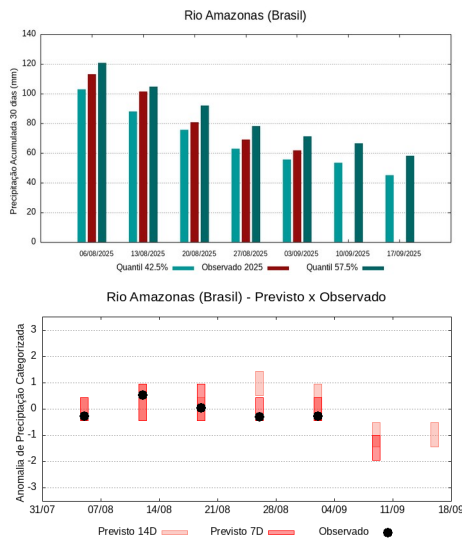
A climatologia do período em análise indica chuvas com registros variando entre **19 e 27 mm** sendo considerados normais (referência quantis 42.5% e 57.5%). Em **3 de setembro de 2025**, foram observados **16 mm** de precipitação média acumulada sobre a bacia em 30 dias, no cálculo da média do índice de anomalia categorizada na área da bacia o valor de **-1.1**, classifica a bacia em condição de **seco**. Nas próximas semanas o comportamento climático indica **elevação** dos volumes de chuva, o modelo de prognóstico subsazonal sugere um comportamento **próximo da normalidade ou tendência a seco**.

Bacia do Rio Xingu



A climatologia do período em análise indica chuvas com registros variando entre **11 e 17 mm** sendo considerados normais (referência quantis 42.5% e 57.5%). Em **3 de setembro de 2025**, foram observados **9 mm** de precipitação média acumulada sobre a bacia em 30 dias, no cálculo da média do índice de anomalia categorizada na área da bacia o valor de **-1.3**, classifica a bacia em condição de **seco**. Nas próximas semanas o comportamento climático indica **elevação** dos volumes de chuva, o modelo de prognóstico subsazonal sugere um comportamento **próximo da normalidade ou tendência a seco**.

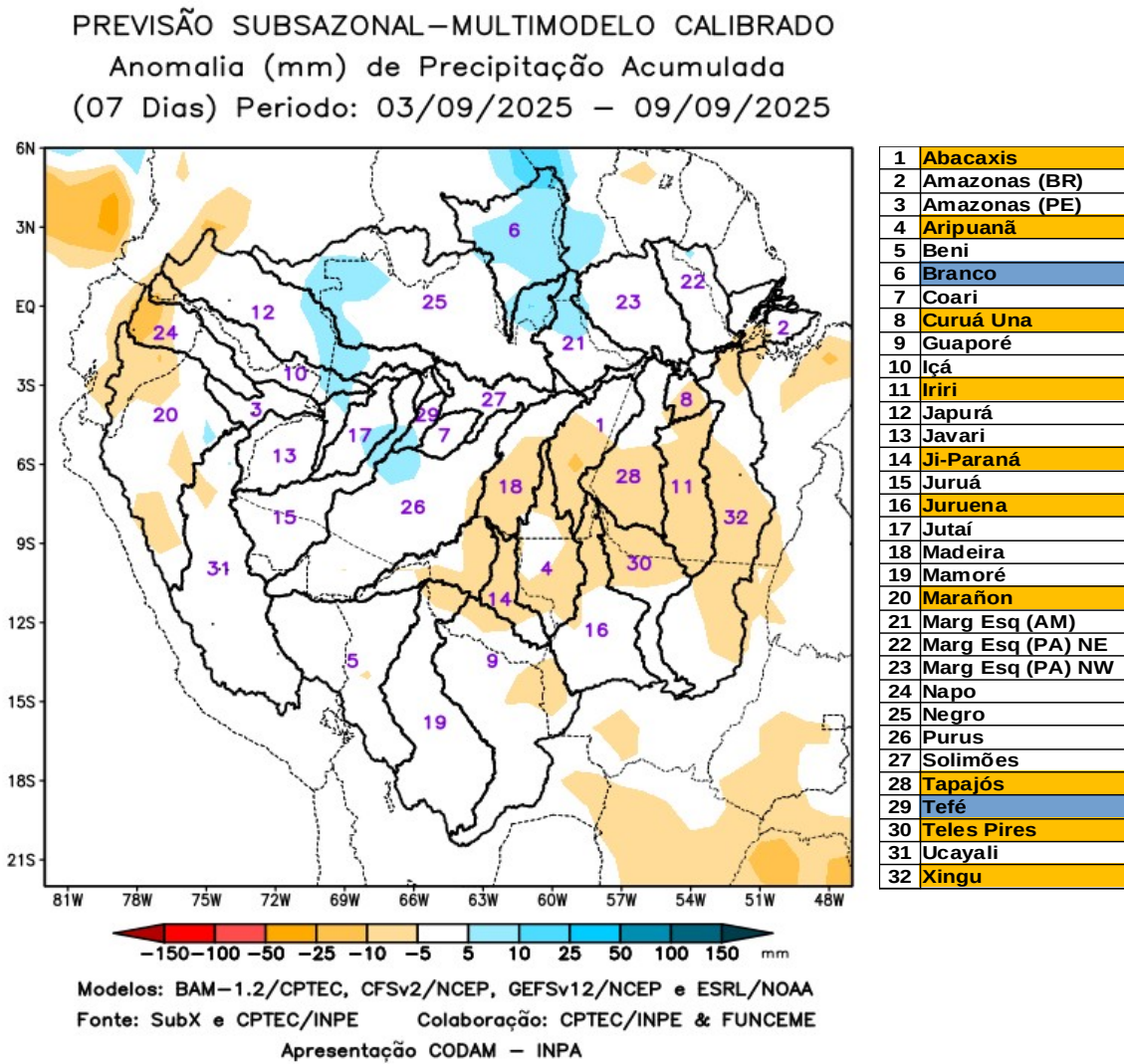
Curso principal do Rio Amazonas (Brasil)



A climatologia do período em análise indica chuvas com registros variando entre **56 e 71 mm** sendo considerados normais (referência quantis 42.5% e 57.5%). Em **3 de setembro de 2025**, foram observados **62 mm** de precipitação média acumulada sobre a bacia em 30 dias, no cálculo da média do índice de anomalia categorizada na área da bacia o valor de **-0.1**, classifica a bacia em condição de **normalidade**. Nas próximas semanas o comportamento climático indica **redução** dos volumes de chuva, o modelo de prognóstico subsazonal sugere um comportamento **seco ou tendência a muito seco**.

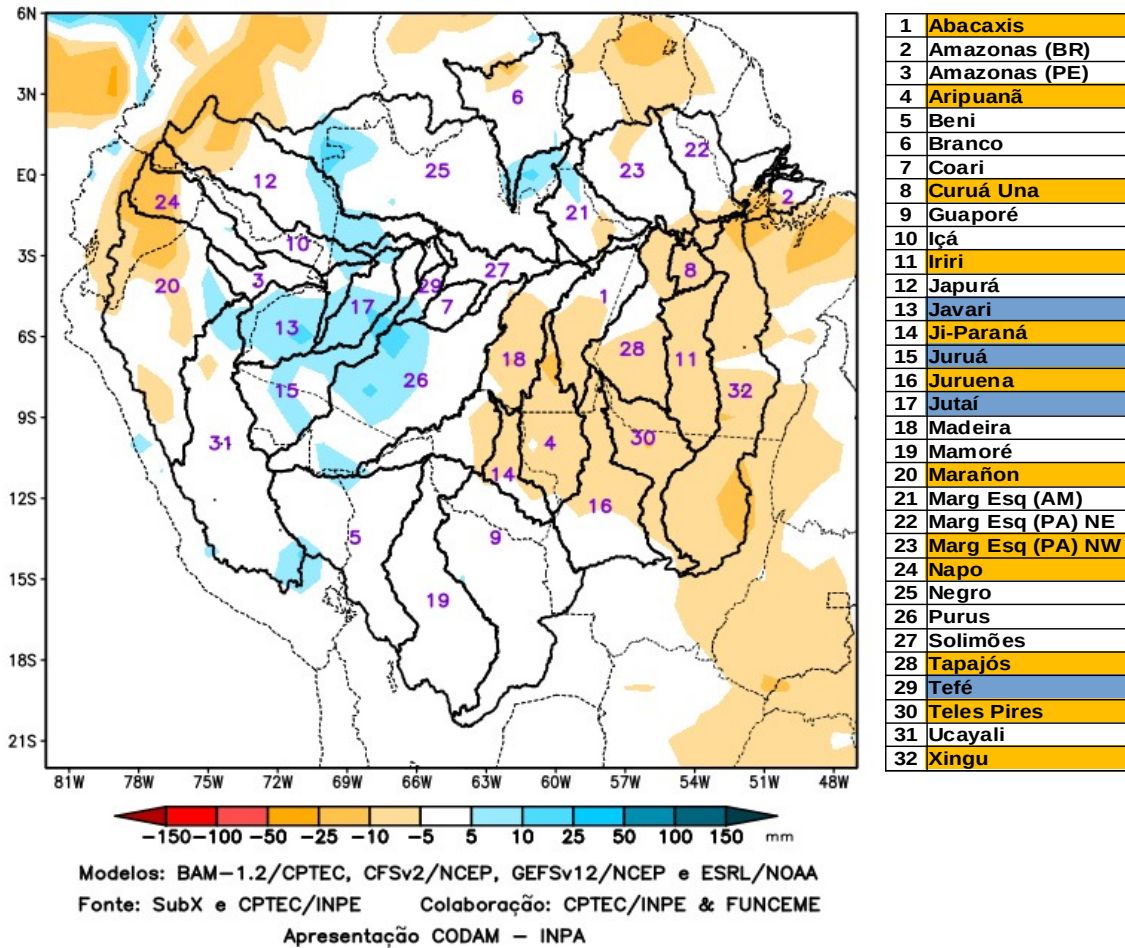
Previsão multimodelo subsazonal CPTEC/INPE-FUNCEME produzida em 02/09/2025 para os próximos 7 e 14 dias.

A previsão multimodelo subsazonal calibrada CPTEC/INPE-FUNCEME é gerada através de cooperação científica entre o CPTEC/INPE e a FUNCEME, sendo proveniente do conjunto de 4 modelos globais (um modelo brasileiro, o BAM-1.2/CPTEC, e três modelos dos EUA, CFSv2/NCEP, GEFSv12/NCEP e ESRL/NOAA, estes três últimos do projeto SubX). As anomalias de precipitação previstas são determinadas em relação ao período climatológico de 1999 a 2016. A seguir são apresentadas as saídas para o intervalo de previsão de 07 e 14 dias detalhando o comportamento previsto sobre as bacias de interesse.



A Figura acima, apresenta o prognóstico para o intervalo de 7 dias entre 03/09/2025 e 09/09/2025, previsão de déficit de precipitação (laranja) sobre o leste da região monitorada, concentrando-se sobre as bacias dos rios Abacaxis, Aripuanã, Curuá Una, Iriri, Ji-Paraná, Juruena, Marañon, Tapajós, Teles Pires e Xingu. Previsão de anomalias positivas de precipitação (azul) sobre as bacias dos rios Branco e Tefé. Previsão de chuvas próximas a climatologia (branco) sobre as demais bacias monitoradas.

PREVISÃO SUBSAZONAL-MULTIMODELO CALIBRADO
 Anomalia (mm) de Precipitação Acumulada
 (14 Dias) Período: 03/09/2025 - 16/09/2025



A Figura acima, apresenta o prognóstico para o intervalo de 14 dias entre 03/09/2025 e 16/09/2025, previsão de déficit de precipitação (laranja) sobre o leste da região monitorada, concentrando-se sobre as bacias dos rios Abacaxis, Aripuanã, Curuá Una, Iriti, Ji-Paraná, Juruena, Marañon, bacias da margem esquerda do Rio Amazonas no noroeste do Estado do Pará, Napo, Tapajós, Teles Pires e Xingu. Previsão de anomalias positivas de precipitação (azul) sobre as bacias dos rios Javari, Juruá, Jutáí e Tefé. Previsão de chuvas próximas a climatologia (branco) sobre as demais bacias monitoradas.

Valores de Referência para a precipitação acumulada em 30 dias na data da análise.

A Tabela 1, mostra os valores de precipitação média acumulada (mm de chuva) por bacia, tomando como base as estimativas de precipitação por meio de imagens de satélite, produto denominado MERGE/GPM, disponibilizado pelo Instituto Nacional de Pesquisas Espaciais, no período 2000 – 2024, levando-se em conta o limite geográfico das bacias hidrográficas da Amazônia, para tanto foi utilizada a técnica de quantis, por se mostrar uma ferramenta adequada e precisa para categorizar precipitação e anomalias de variáveis discretas, foram adotados os seguintes limites 5%, 12.5%, 20%, 27.5%, 35%, 42.5%, 57.5%, 65%, 72.5%, 80%, 87.5% e 95% buscando estratificar a técnica e permitir uma categorização mais detalhada das condições em cada bacia monitorada.

03/09/2025	Quantis para categorização de anomalias de precipitação											
	5.0%	12.5%	20.0%	27.5%	35.0%	42.5%	57.5%	65.0%	72.5%	80.0%	87.5%	95.0%
Abacaxis	10	15	19	25	31	38	51	59	68	81	96	122
Amazonas (BR)	17	26	34	42	49	56	71	80	90	103	119	150
Amazonas (PE)	62	78	90	102	114	126	152	167	185	207	239	293
Aripuanã	2	4	7	10	13	17	26	32	39	50	65	104
Beni	4	10	14	18	22	27	38	45	54	66	81	107
Branco	76	105	123	136	147	157	178	190	203	219	241	277
Coari	27	34	41	48	55	61	74	81	89	100	117	146
Curuá Una	5	8	13	17	21	25	32	36	41	47	57	77
Guaporé	0	2	4	7	10	13	22	27	34	44	58	84
Içá	69	88	100	111	122	133	162	178	195	218	247	295
Iriri	3	6	9	12	15	19	27	31	39	49	62	88
Japurá	83	106	120	132	143	154	178	191	206	223	248	287
Javari	35	51	61	72	81	90	109	120	133	150	171	207
Ji-Paraná	1	29	6	9	13	17	24	30	36	44	60	100
Juruá	20	3	37	44	51	58	73	82	93	106	122	152
Juruena	0	1	3	5	7	10	16	20	25	32	42	63
Jutaí	35	46	56	65	73	82	102	114	127	143	162	194
Madeira	6	12	17	22	27	33	45	52	61	72	87	113
Mamoré	1	5	8	12	15	20	31	38	46	57	75	103
Marañon	27	36	44	52	59	68	86	96	108	122	141	170
Marg Esq (AM)	18	27	36	44	52	59	75	84	96	110	127	152
Marg Esq (PA) NE	18	28	36	43	50	56	71	80	89	98	113	143
Marg Esq (PA) NW	13	23	30	37	44	52	67	75	84	95	108	130
Napo	61	79	92	103	117	132	167	185	203	225	253	299
Negro	76	99	116	129	141	152	175	187	200	217	239	279
Purus	9	16	21	27	33	39	52	59	68	80	96	118
Solimões	29	41	54	64	72	81	100	110	120	133	152	185
Tapajós	7	12	16	21	25	30	41	47	57	69	88	120
Tefé	33	42	51	58	67	75	90	98	108	120	134	157
Teles Pires	1	2	3	5	7	9	16	21	27	35	47	72
Ucayali	12	18	23	28	33	38	49	55	63	72	84	106
Xingu	2	4	5	7	9	11	17	21	26	33	44	61

Tabela 1. Quantis de precipitação acumulada (mm) em 30 dias (5 de agosto a 3 de setembro), Climatologia do período (2000 - 2024) dados MERGE/GPM – INPE/CPTEC.

Categorização das anomalias de precipitação

Utilizando os valores constantes na tabela anterior é possível categorizar a precipitação observada no ano corrente em relação aos valores observados nos registros anteriores desde o início da série disponível, assim os valores observados inferiores ao quantil de 5% caracterizam a bacia em condição de extremamente seco, entre 5 e 12.5% em condição de tendência a extremamente seco, entre 12.5 e 20% condição de muito seco, entre 20 e 27.5% tendência a muito seco, entre 27.5 e 35% condição de seco, entre 35 e 42.5 condição de tendência a seco, valores entre 42.5 e 57.5 definem a condição de normalidade, valores entre 57.5 e 65% condição de tendência a chuvoso, entre 65 e 72.5% condição de chuvoso, entre 72.5 e 80% tendência a muito chuvoso, entre 80 e 87.5 condição de muito chuvoso, entre 87.5 e 95% indicam tendência a extremamente chuvoso e finalmente valores superiores a 95% definem a bacia em condição de extremamente chuvoso, conforme legenda abaixo.

QUANTIL	5.0%	12.5%	20.0%	27.5%	35.0%	42.5%		57.5%	65.0%	72.5%	80.0%	87.5%	95.0%
ÍNDICE	-3.0	-2.5	-2.0	-1.5	-1.0	-0.5	0.0	0.5	1.0	1.5	2.0	2.5	3.0
CATEGORIA	EXTREMAMENTE SECO	TENDÊNCIA A EXTREMAMENTE SECO	MUITO SECO	TENDÊNCIA A MUITO SECO	SECO	TENDÊNCIA A SECO	NORMAL	TENDÊNCIA A CHUVOSO	CHUVOSO	TENDÊNCIA A MUITO CHUVOSO	MUITO CHUVOSO	TENDÊNCIA A EXTREMAMENTE CHUVOSO	EXTREMAMENTE CHUVOSO

As tabelas a seguir apresentam (Tabela 2A) a precipitação média observada (mm) em cada bacia tomando como referência as estimativas de precipitação por satélite utilizando a técnica MERGE, acumuladas em 30 dias nas datas indicadas, disponibilizadas em <http://ftp.cptec.inpe.br/modelos/tempo/MERGE/GPM/DAILY/> os valores médios das anomalias categorizadas (Tabela 2B) foram estimados com base no valor de anomalia de cada pixel na área da bacia monitorada, calculados conforme metodologia descrita no item anterior, nas mesmas datas do monitoramento da precipitação, a escala de cores das anomalias segue a legenda descrita.

	Precipitação acumulada média na bacia (mm)				
	06/08/2025	13/08/2025	20/08/2025	27/08/2025	03/09/2025
Abacaxis	15	24	30	28	41
Amazonas (BR)	113	101	81	69	62
Amazonas (PE)	79	86	118	124	129
Aripuanã	3	4	7	8	9
Beni	16	22	22	35	35
Branco	246	240	168	142	156
Coari	46	90	96	79	69
Curuá Una	36	39	43	38	40
Guaporé	3	4	4	9	10
Içá	131	125	127	139	171
Iriri	10	12	14	19	16
Japurá	139	109	115	114	142
Javari	59	62	67	60	53
Ji-Paraná	4	4	4	5	8
Juruá	50	61	59	53	36
Juruena	2	2	5	6	6
Jutai	82	92	92	84	50
Madeira	13	20	26	27	31
Mamoré	4	4	4	23	23
Marañon	57	69	70	80	95
Marg Esq (AM)	77	75	64	61	73
Marg Esq (PA) NE	119	99	85	84	85
Marg Esq (PA) NW	85	84	92	90	101
Napo	123	134	127	162	221
Negro	165	146	128	126	133
Purus	19	25	29	29	28
Solimões	55	83	95	95	90
Tapajós	18	29	35	35	42
Tefé	63	126	138	115	97
Teles Pires	1	1	5	6	5
Ucayali	16	23	22	25	24
Xingu	12	11	12	12	9

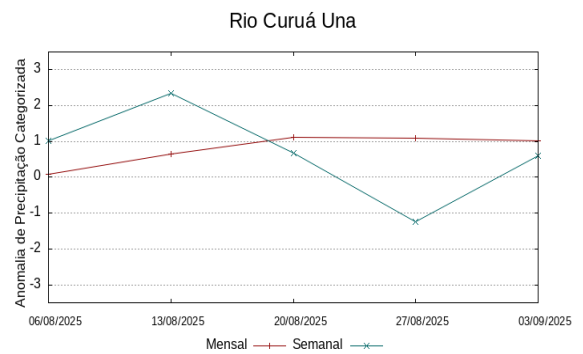
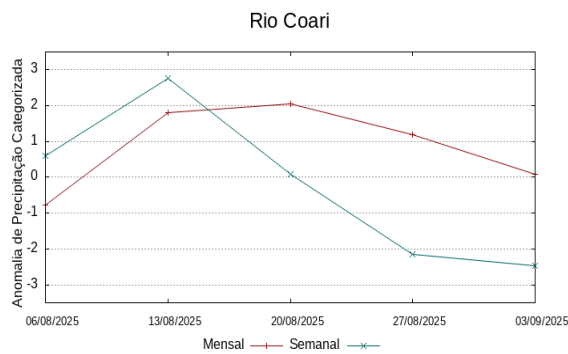
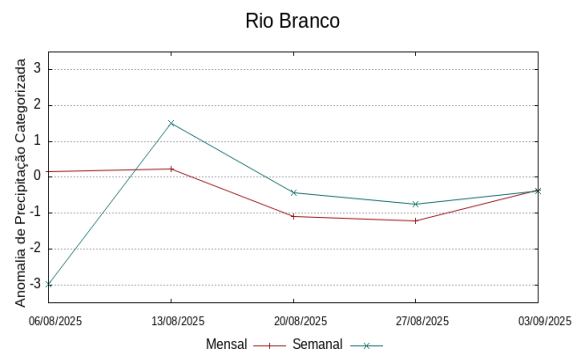
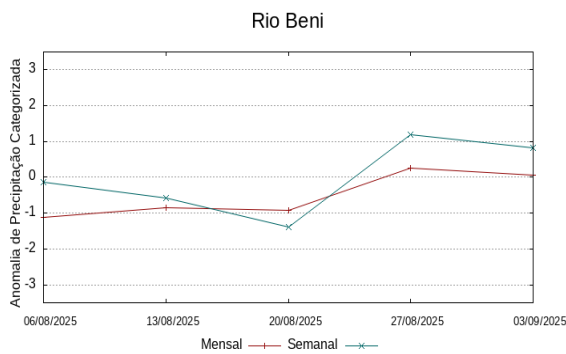
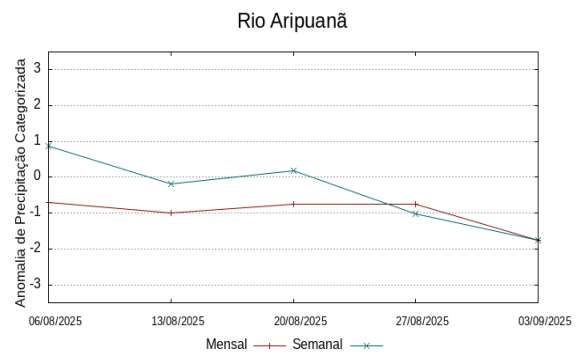
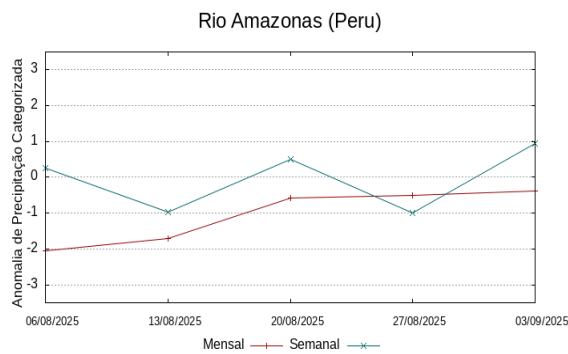
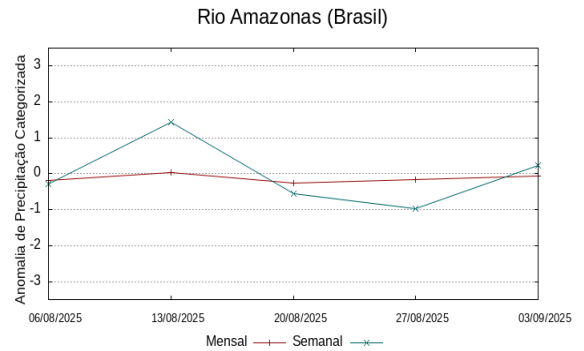
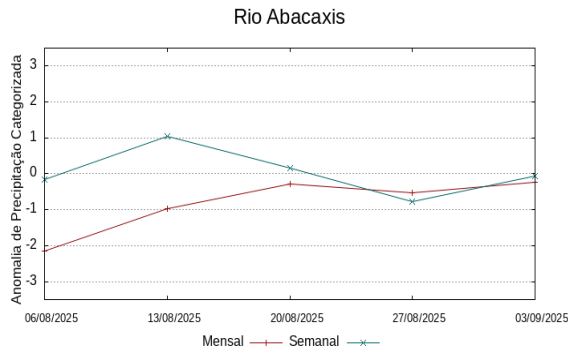
Tabela 2A. Precipitação acumulada em 30 dias (mm), de dados MERGE/GPM – INPE/CPTEC.

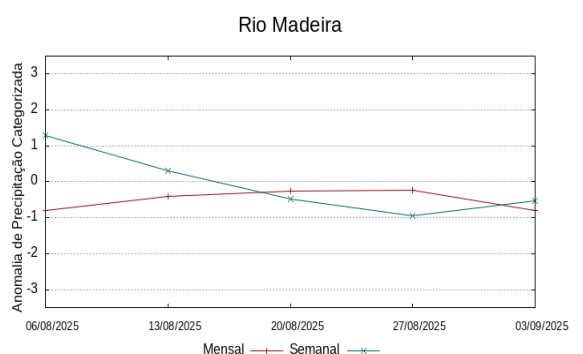
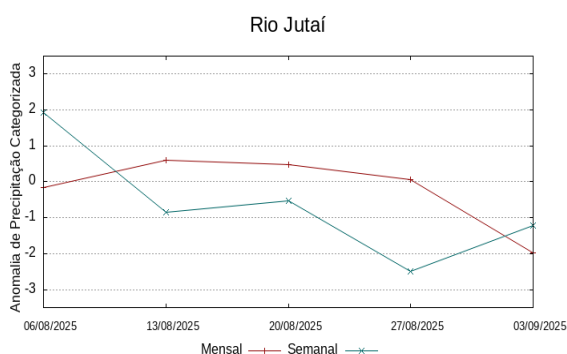
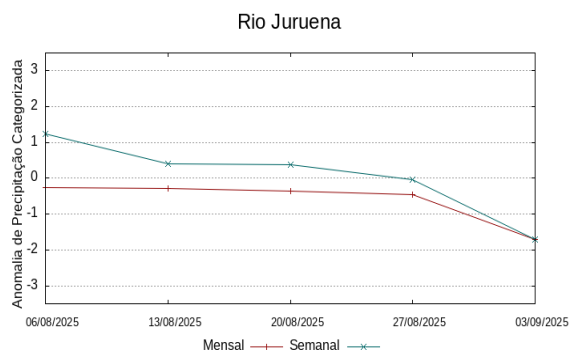
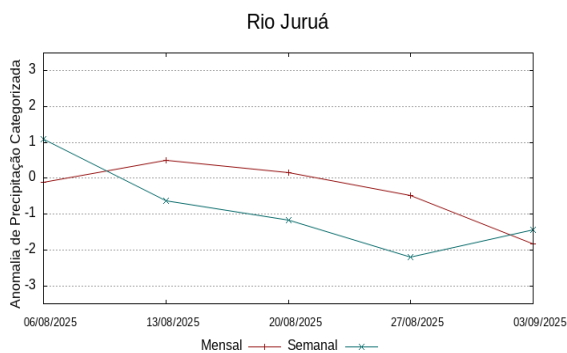
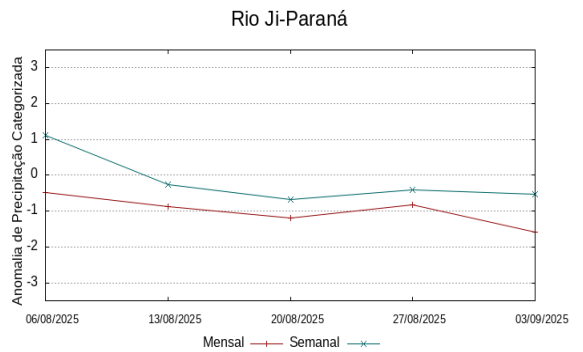
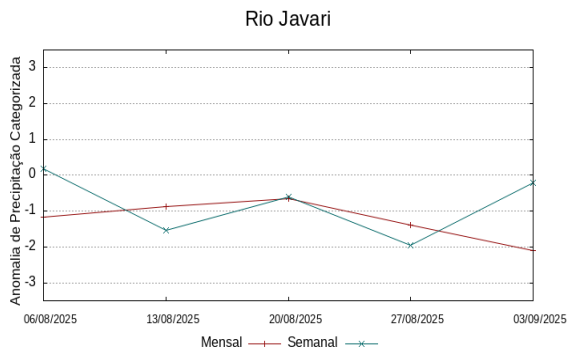
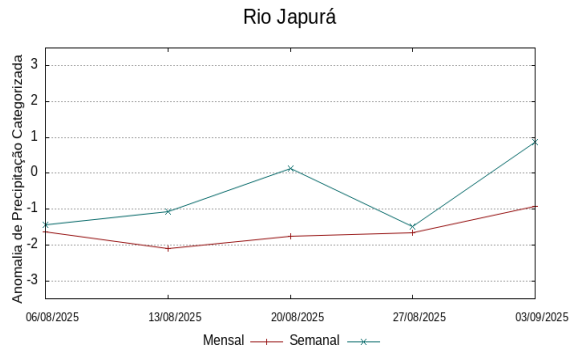
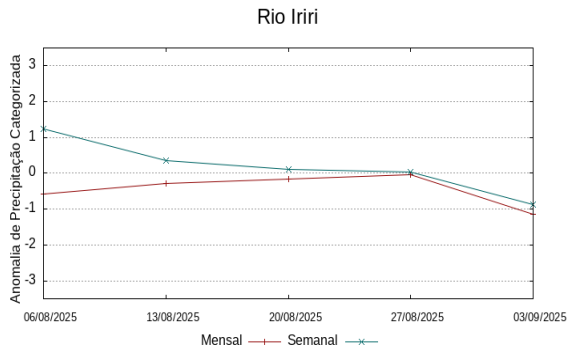
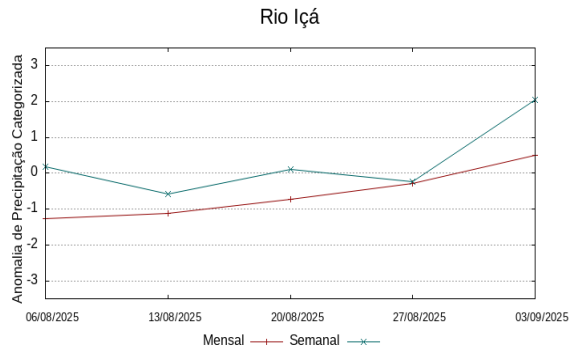
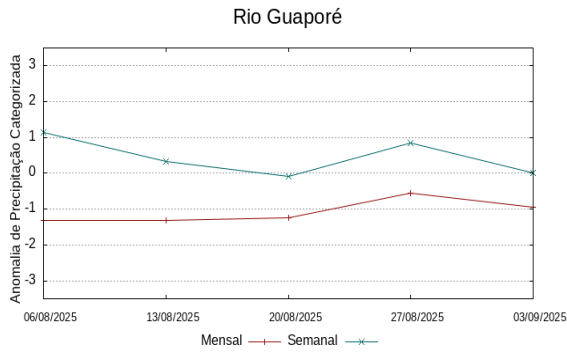
	Anomalia categorizada média na bacia				
	06/08/2025	13/08/2025	20/08/2025	27/08/2025	03/09/2025
Abacaxis	-2.2	-1.0	-0.3	-0.5	-0.2
Amazonas (BR)	-0.2	0.0	-0.3	-0.2	-0.1
Amazonas (PE)	-2.1	-1.7	-0.6	-0.5	-0.4
Aripuanã	-0.7	-1.0	-0.7	-0.8	-1.7
Beni	-1.1	-0.9	-0.9	0.3	0.1
Branco	0.2	0.2	-1.1	-1.2	-0.4
Coari	-0.8	1.8	2.1	1.2	0.1
Curuá Una	0.1	0.7	1.1	1.1	1.0
Guaporé	-1.3	-1.3	-1.2	-0.5	-0.9
Içá	-1.3	-1.1	-0.7	-0.3	0.5
Iriri	-0.6	-0.3	-0.2	0.0	-1.1
Japurá	-1.6	-2.1	-1.8	-1.6	-0.9
Javari	-1.2	-0.9	-0.6	-1.4	-2.1
Ji-Paraná	-0.5	-0.9	-1.2	-0.8	-1.6
Juruá	-0.1	0.5	0.2	-0.5	-1.8
Juruena	-0.3	-0.3	-0.3	-0.5	-1.7
Jutai	-0.2	0.6	0.5	0.1	-2.0
Madeira	-0.8	-0.4	-0.2	-0.2	-0.8
Mamoré	-1.8	-1.9	-1.8	0.1	-0.2
Marañon	-0.8	0.1	0.2	0.4	0.6
Marg Esq (AM)	-0.4	-0.3	-0.4	-0.5	0.0
Marg Esq (PA) NE	0.4	0.2	0.1	0.5	1.0
Marg Esq (PA) NW	0.3	0.6	1.4	1.3	1.9
Napo	-1.2	-0.6	-0.4	0.5	1.6
Negro	-1.2	-1.3	-1.6	-1.2	-0.9
Purus	-0.6	-0.4	-0.5	-0.5	-1.3
Solimões	-1.9	0.1	0.6	0.6	-0.1
Tapajós	-1.2	0.0	0.7	0.6	0.2
Tefé	-0.7	2.6	2.9	2.0	0.7
Teles Pires	-0.2	-0.4	-0.1	-0.4	-1.8
Ucayali	-1.5	-1.0	-1.1	-0.9	-1.3
Xingu	-0.3	-0.1	-0.2	-0.4	-1.3

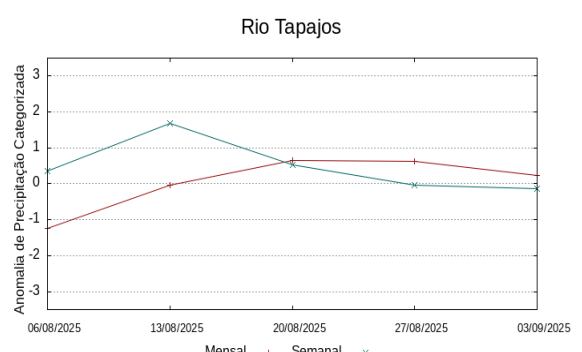
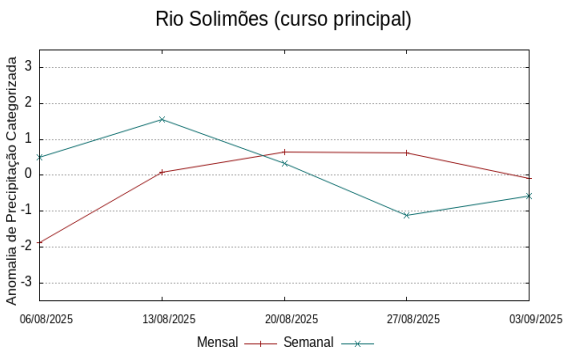
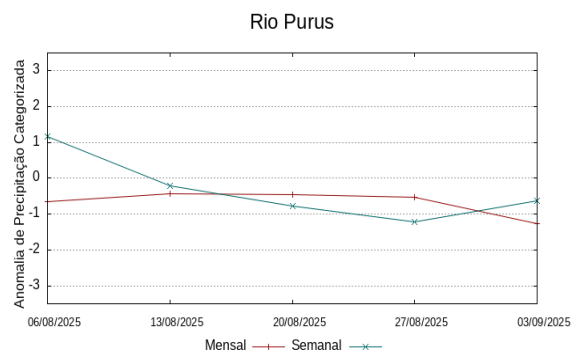
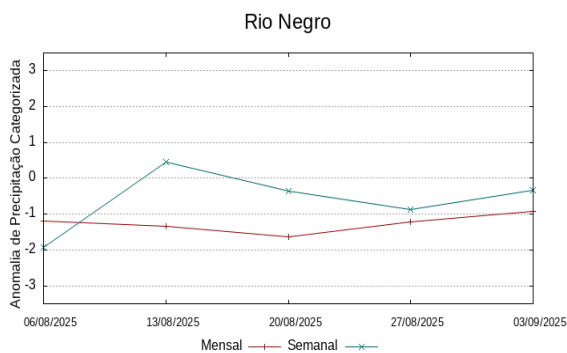
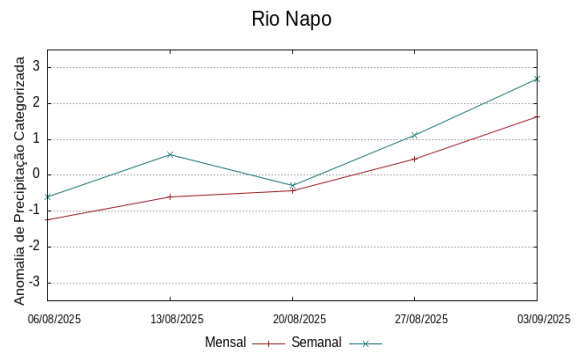
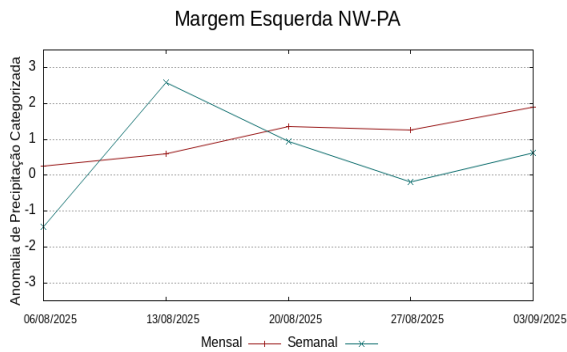
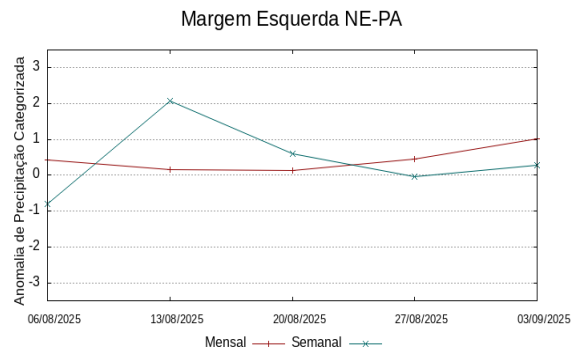
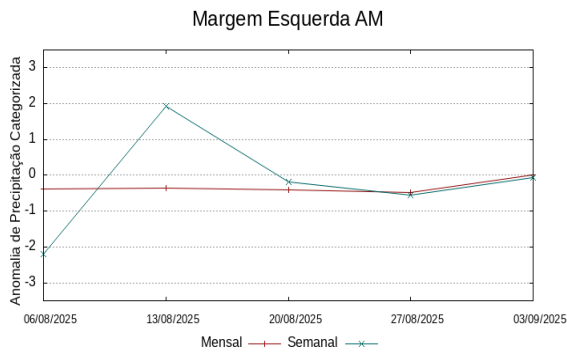
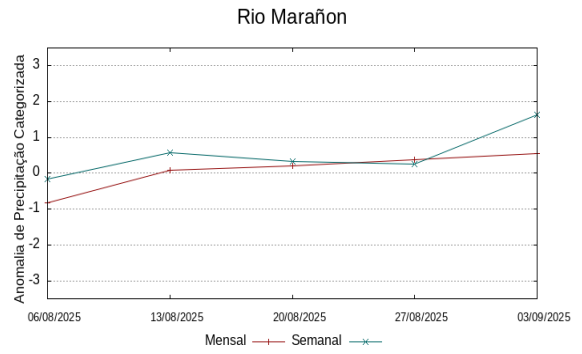
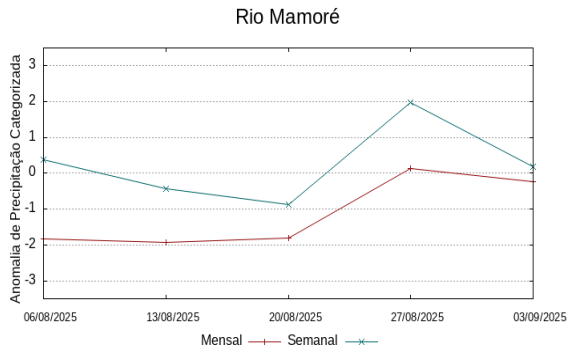
Tabela 2B. Anomalia Categorizada Precipitação por quantis.

Comportamento das anomalias 07 e 30 dias observado nas semanas anteriores

Os gráficos a seguir ilustram o comportamento do índice das anomalias de precipitação nas últimas semanas, linhas vermelhas mostram o comportamento de períodos de 30 dias e linhas em azul o comportamento em relação a períodos de 7 dias, atualizados semanalmente.







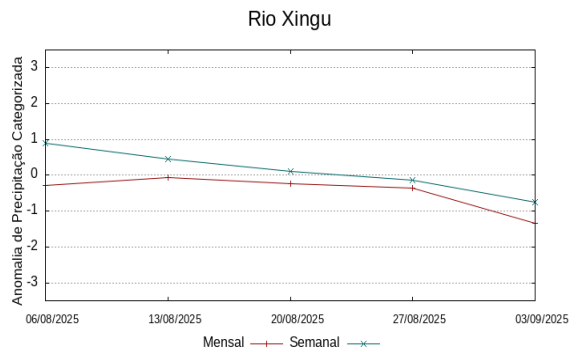
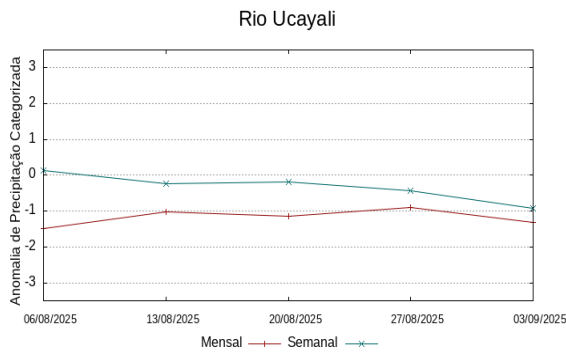
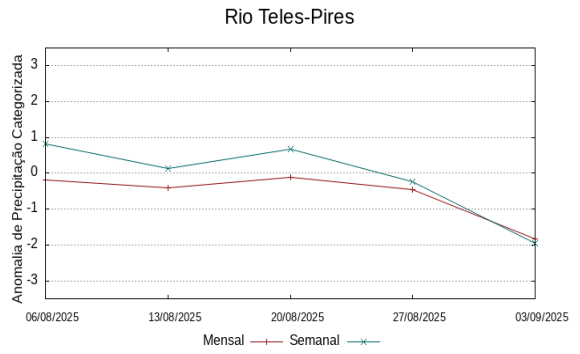
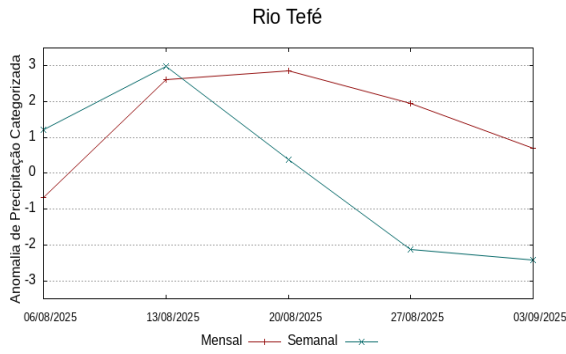
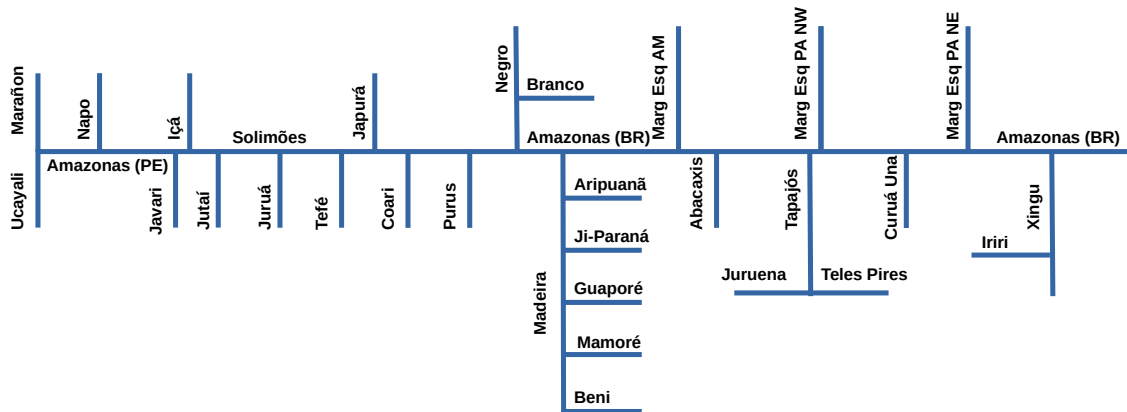


Diagrama unifilar das bacias representadas



Renato Cruz Senna

Pesquisador - CODAM

Meteorologista, CREA-AM 2880-D

Registro Nacional 040459935-4

Fone de contato +55 92 3643 3170

